

# 混沌系统的 Koopman 分析与应用

## 复杂系统的边界点划分

张聪

指导教师：兰岳恒  
北京邮电大学理学院

理学硕士学位论文答辩  
2020 年 9 月 29 日上午



# 目录

- ① 研究背景与意义
- ② Koopman 算符介绍
  - Koopman 算符的定义
  - Koopman 算符的本征函数
- ③ 混沌系统中的 Koopman 算符
  - 一维映射: Logistic Map
  - 一维映射: Tent Map
  - 二维映射: Henon Map
  - 三维流: Lorenz System
- ④ 总结与展望



# 本节目录

- ① 研究背景与意义
- ② Koopman 算符介绍
  - Koopman 算符的定义
  - Koopman 算符的本征函数
- ③ 混沌系统中的 Koopman 算符
  - 一维映射: Logistic Map
  - 一维映射: Tent Map
  - 二维映射: Henon Map
  - 三维流: Lorenz System
- ④ 总结与展望



# 研究背景与意义

## 研究背景

- ① 信息时代 → 信息 → 数据 → 数据分析
- ② 动力学系统 → 线性、非线性
- ③ 非线性动力学
- ④ 动力学系统的数值计算
- ⑤ Koopman 算符 → 提取系统的关键特征

## 意义：通过 Koopman 算符分析系统关键特征

我们希望能够找到一种方法，仅通过系统数据的演化过程得到系统的一些演化特征，并在这些演化特征中提取出关键特征。

Koopman 算符给我们提供了一个有效的数学工具。Koopman 算法由 B.O.Koopman 与 1931 年引入，它作用在某个函数上，描述了函数的演化。若将系统的特性数据演化视为函数的演化，我们即可以用 Koopman 算符分析系统的特征。



# 本节目录

- ① 研究背景与意义
- ② Koopman 算符介绍
  - Koopman 算符的定义
  - Koopman 算符的本征函数
- ③ 混沌系统中的 Koopman 算符
  - 一维映射: Logistic Map
  - 一维映射: Tent Map
  - 二维映射: Henon Map
  - 三维流: Lorenz System
- ④ 总结与展望



# Koopman 算符

## Koopman 算符定义

$$Uf(x) = f(T(x)) = \tilde{f}(x)$$

对于固定的时间  $t$ , 上式可写为

$$U_t f(x) = f(T_t(x)) = \tilde{f}_t(x)$$

## 举例

对于一个函数:  $f(x) = x^2$

动力学方程:  $\dot{x} = -2x \rightarrow x(t) = x(0)e^{-2t} \rightarrow T_t(x) = xe^{-2t}$

Koopman 算符:  $U_t f(x) = f(T_t(x)) = f(xe^{-2t}) = x^2 e^{-4t} = \tilde{f}(x)$

- Koopman 算符描述了函数的演化





# Koopman 算符的本征值和本征函数

## 本征函数的定义

$$U\phi_k(x) = \phi_k(T(x)) = \lambda_k\phi_k(x)$$

在函数空间中

$$\phi(x) = \sum_{i=1}^m a_i g_i(x)$$

$$U\phi(x) = \sum_{i=1}^m a_i U g_i(x) = \sum_{i=1}^m a_i \tilde{g}_i(x)$$

$$U\phi(x) = \lambda(x) = \sum_{i=1}^m \lambda a_i g_i(x)$$





# 本征函数的性质

根据本征函数的定义，我们有

$$\phi_k(x_p) = U\phi_k(x_{p-1}) = \lambda\phi_k(x_{p-1}) = \cdots = \lambda^p\phi_k(x_0)$$

当  $\lambda = 1$  时，

$$\phi_k(x_p) = \phi_k(x_{p-1}) = \cdots = \phi_k(x_0)$$

- 本征值  $\lambda = 1$  下的本征函数中，函数值相等的点属于一个不变集。
- 在动力学系统中，不变集与不动点和周期轨道密切相关



# Koopman 算符的本征函数的计算

Koopman 算符作用在一组基函数上可得到一组基函数的演化，  
即

$$U(g_1(x), g_2(x), \dots, g_m(x)) = (\tilde{g}_1(x), \tilde{g}_2(x), \dots, \tilde{g}_m(x))$$

简记为

$$UK = L$$

其中

$$K = (g_1(x_p), g_2(x_p), \dots, g_m(x_p)) = \begin{pmatrix} g_1(x_{p_1}) & g_2(x_{p_1}) & \cdots & g_m(x_{p_1}) \\ g_1(x_{p_2}) & g_2(x_{p_2}) & \cdots & g_m(x_{p_2}) \\ \vdots & \vdots & \ddots & \vdots \\ g_1(x_{p_n}) & g_2(x_{p_n}) & \cdots & g_m(x_{p_n}) \end{pmatrix} \quad (1)$$

$$L = (\tilde{g}_1(x_p), \tilde{g}_2(x_p), \dots, \tilde{g}_m(x_p)) = \begin{pmatrix} \tilde{g}_1(x_{p_1}) & \tilde{g}_2(x_{p_1}) & \cdots & \tilde{g}_m(x_{p_1}) \\ \tilde{g}_1(x_{p_2}) & \tilde{g}_2(x_{p_2}) & \cdots & \tilde{g}_m(x_{p_2}) \\ \vdots & \vdots & \ddots & \vdots \\ \tilde{g}_1(x_{p_n}) & \tilde{g}_2(x_{p_n}) & \cdots & \tilde{g}_m(x_{p_n}) \end{pmatrix} \quad (2)$$

$$L = (g_1(x_{p+1}), g_2(x_{p+1}), \dots, g_m(x_{p+1})) = \begin{pmatrix} g_1(x_{p_1+1}) & g_2(x_{p_1+1}) & \cdots & g_m(x_{p_1+1}) \\ g_1(x_{p_2+1}) & g_2(x_{p_2+1}) & \cdots & g_m(x_{p_2+1}) \\ \vdots & \vdots & \ddots & \vdots \\ g_1(x_{p_n+1}) & g_2(x_{p_n+1}) & \cdots & g_m(x_{p_n+1}) \end{pmatrix} \quad (3)$$



# Koopman 分析的步骤

- ① 获得系统的特征数据  $x_p, x_{p+1}$
- ② 选取合适的基函数空间  $g(x)$  (基函数形式、函数格点、演化格点)
- ③ 确定某时刻的数据矩阵  $K$  及演化之后的数据矩阵  $L$
- ④ 通过  $UK = L$  计算出 Koopman 算符的矩阵表示
- ⑤ 计算出 Koopman 算符的本征值  $\lambda$  和  $\phi(x)$
- ⑥ 找到我们关心的  $\lambda$  和  $\phi(x)$  (如  $|\lambda| = 1$ )
- ⑦ 系统特征分析



# 本节目录

- ① 研究背景与意义
- ② Koopman 算符介绍
  - Koopman 算符的定义
  - Koopman 算符的本征函数
- ③ 混沌系统中的 Koopman 算符
  - 一维映射: Logistic Map
  - 一维映射: Tent Map
  - 二维映射: Henon Map
  - 三维流: Lorenz System
- ④ 总结与展望



# Logistic Map

## 动力学方程

$$x_{n+1} = f(x_n) = \gamma x_n(1 - x_n)$$

$$x_n \in [0, 1], n = 1, 2, 3, \dots$$

这里我们取  $\gamma = 4$ , 使该系统处于混沌状态。

两个不动点: 0 和  $\frac{3}{4}$ 。

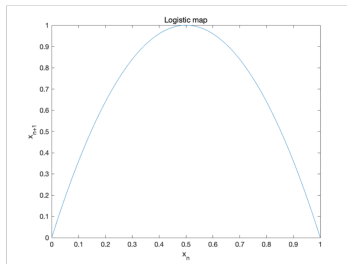


图 1: Logistic map 相图

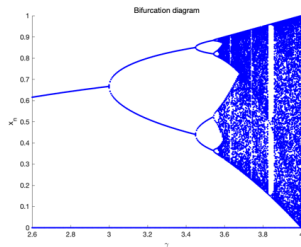


图 2: Logistic map 分岔图

# Logistic map 的本征函数 ( $m=6$ )

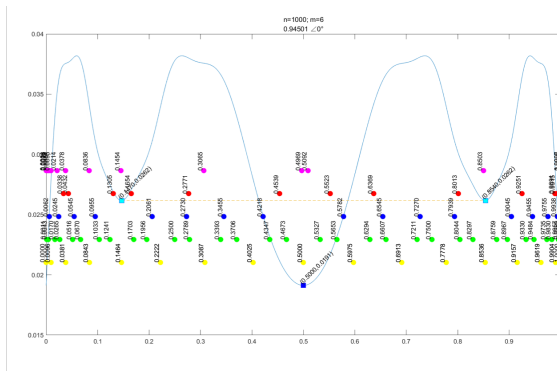


图 3: Logistic map 的本征函数 ( $m=6$ )

可见，Koopman 算符的极值点与动力学系统的“边界点”得到了较好的吻合。而边界点反映了 Logistic Map 的符号动力学。符号动力学的划分可以一定程度的预测系统的长期行为。



# 符号动力学

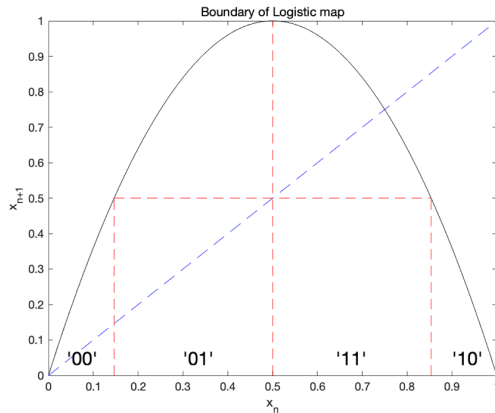


图 4: Logistic Map 的符号动力学划分

- 相空间的任何一点都可以用一个符号动力学序列来表示



# Logistic map 的本征函数 ( $m=100$ )

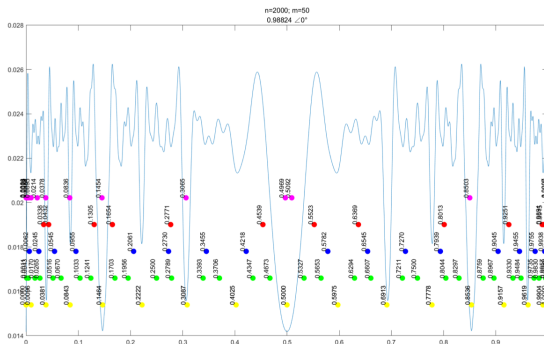


图 5: Logistic map 的本征函数 ( $m=100$ )

- Koopman 算符的极值点与动力学系统的“边界点”得到了较好的吻合。而边界点反映了 Logistic Map 的符号动力学。符号动力学的划分可以一定程度的预测系统的长期行为。





# Koopman 算符是有效的，但是...

本征函数取决于：

- $n$ : 演化格点个数（相空间维度）
- $m$ : 基函数个数（函数空间维度）
- $g(x)$ : 基函数（形式、数量等参数）（形式如 Gauss、Fourier、Rectangle、Legendre）
- $\lambda$ : 本征值与本征函数（实、虚、模、幅角）

所以我们得到了一系列的本征函数

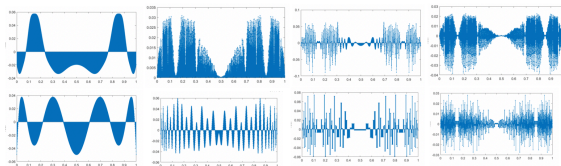


图 6: 其他的一些本征函数



# 寻找结构简单的本征函数

- $\lambda = 0$  的本征函数是奇异的，在本征函数中存在 Jordan 块结构
- $\lambda = 0$  的本征函数的线性叠加仍为本征函数，我们求得的本征函数并非最简
- 我们希望能够找到结构“简单”的本征函数，以更好的划分相空间

一个显然的想法（但不见的是最好的）是构造一个我们期望的约束函数，求其最小值对应的参数，用公式可描述为

$$\arg \min_{x, \lambda} \alpha \|Ax - \lambda x\| + \beta \|D(x)\|_p$$

- 1  $p$ : $p$  范数
- 2  $D(x) = (x_2 - x_1, x_3 - x_2, \dots, x_n - x_{n-1})^T$
- 3  $\alpha \gg \beta$  (满足本征函数定义)
- 4 约束:  $\|x\| \equiv 1$



# Tent Map

## 动力学方程

$$x_{n+1} = f(x_n) = 1 - 2|x - \frac{1}{2}|$$

$$x_n \in [0, 1], n = 1, 2, 3, \dots$$

两个不动点：0 和  $\frac{2}{3}$

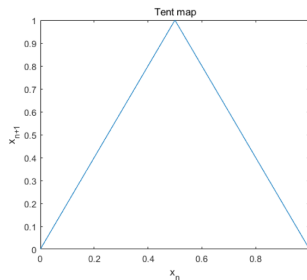


图 7: Tent map 相图



# Tent map 的本征函数 (m=4)

$$U^T = \begin{pmatrix} 0.5 & 0 & 0 & 0.5 \\ 0.5 & 0 & 0 & 0.5 \\ 0 & 0.5 & 0.5 & 0 \\ 0 & 0.5 & 0.5 & 0 \end{pmatrix}$$

图 8:

Koopman 算符的矩阵表示  
(m=4)

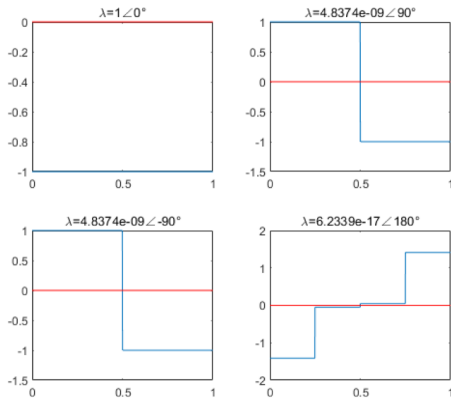


图 9: Tent map 的本征函数

$U^T$ , Tent map, Rectangle basis function, **m=4**



# Tent map 的本征函数 ( $m=100$ )

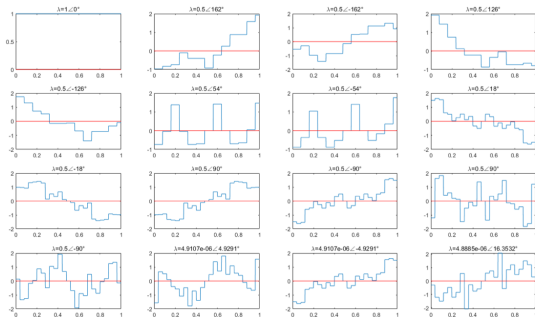


图 10:  $U^T$ , Tent map, Rectangle basis function,  $m=100$

# Tent map 的本征函数 ( $m=100$ )

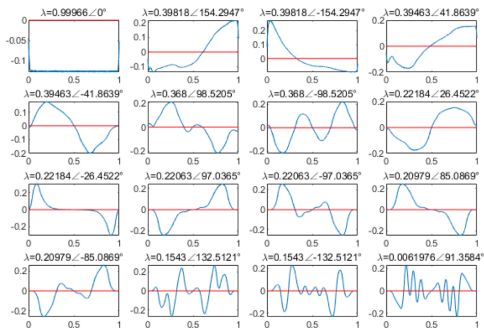


图 11:  $U^T$ , Tent map, Gauss basis function,  $m=100$

# 寻找结构简单的本征函数 (迭代法)

$$\mu=0.1, \lambda=0$$

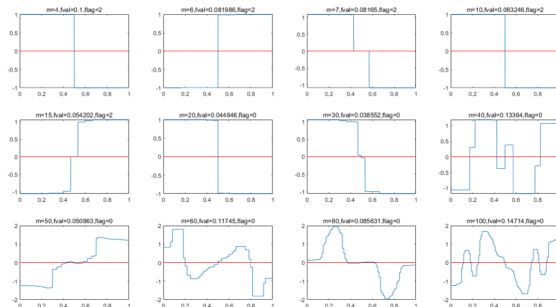


图 12:  $U^T$ , Tent map, Rectangle basis function,  $m=[4,6,7,10,15,20,30,40,50,60,80,100]$

- 迭代法不能跳出局部最小值



# 寻找结构简单的本征函数 (随机梯度下降)

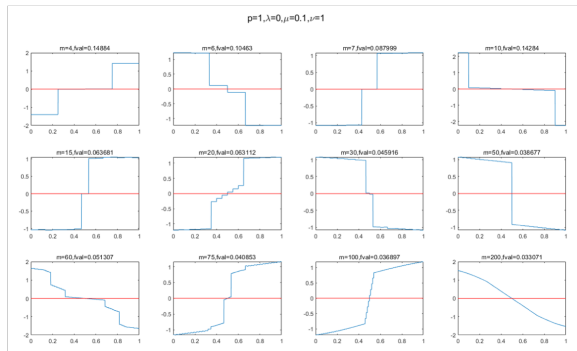


图 13:  $U^T$ , Tent map, Rectangle basis function,  
 $m=[4,6,7,10,15,20,30,40,50,60,80,100]$



# Henon Map

## 动力学方程

$$\begin{cases} x_{n+1} = y_n + 1 - ax_n^2 \\ y_{n+1} = bx_n \end{cases} \quad x, y \in [-1.5, 1.5]$$

我们选取  $a=1.4, b=0.3$  使其处于混沌状态。

两个不动点:  $(0.6314, 0.1894)$  和  $(-1.1314, -0.3394)$

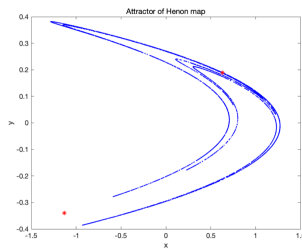


图 14: Henon map 相图



# Henon map 的本征函数

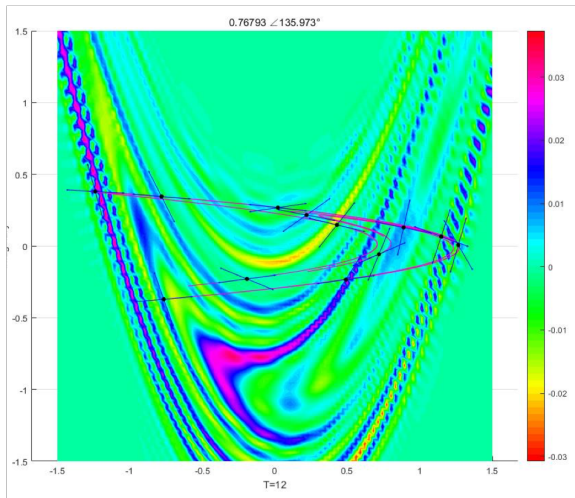
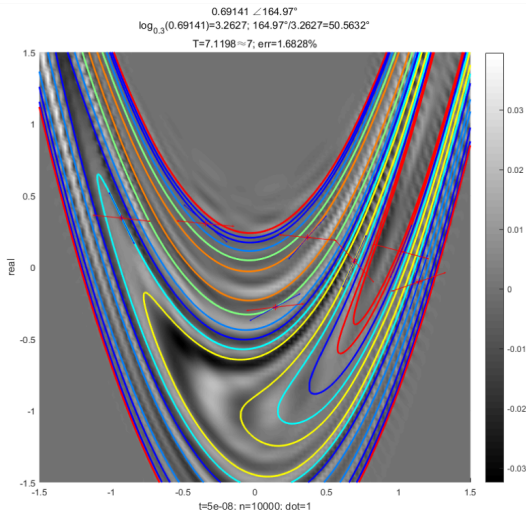


图 15: Henon map 的本征函数



# Henon map 的本征函数



# Lorenz System

## 动力学方程

$$\begin{cases} \dot{x} = \sigma(y - x) \\ \dot{y} = x(\gamma - z) - y \\ \dot{z} = xy - \beta z \end{cases}$$

取  $\beta = \frac{8}{3}, \rho = 28, \sigma = 10$  使系统处于混沌状态, 初始点  $(-1, 3, 4)$   
三个不动点:  $(0, 0, 0)$ 、 $(-8.4853, 8.4853, 27)$ 、 $(8.4853, -8.4853, 27)$

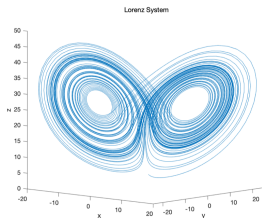


图 17: Lorenz System 相图



# Lorenz System 的本征函数

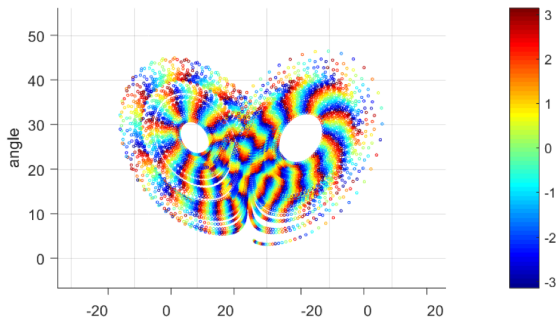


图 18: Lorenz System 的本征函数



# Lorenz System 的本征函数

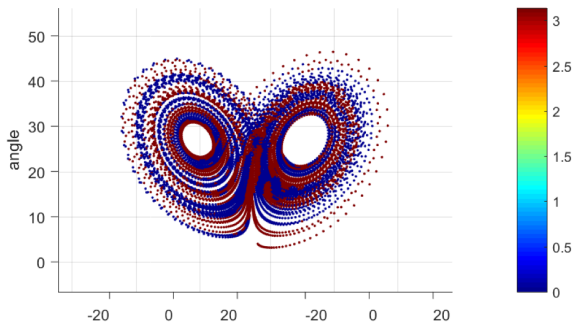


图 19: Lorenz System 的本征函数

# 本节目录

- ① 研究背景与意义
- ② Koopman 算符介绍
  - Koopman 算符的定义
  - Koopman 算符的本征函数
- ③ 混沌系统中的 Koopman 算符
  - 一维映射: Logistic Map
  - 一维映射: Tent Map
  - 二维映射: Henon Map
  - 三维流: Lorenz System
- ④ 总结与展望







# 致谢

感谢各位老师莅临指导

北京邮电大学理学院  
张聪

